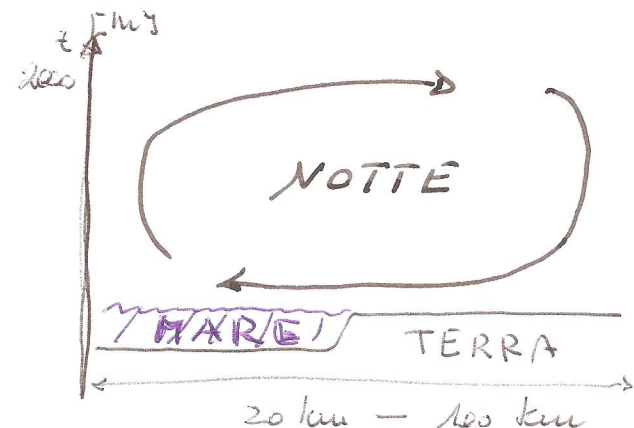
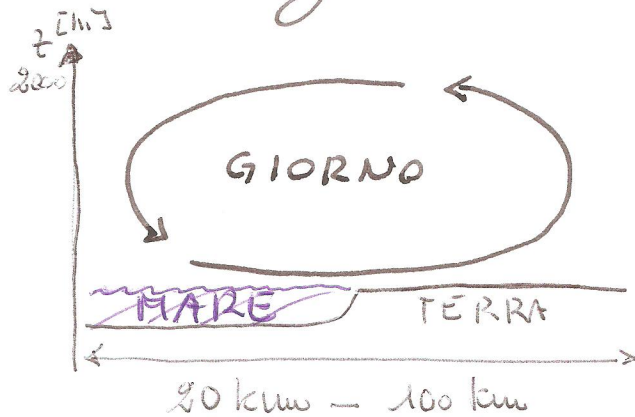


## Applicazione dell'equazione per la conservazione della Vorticità allo mesoscale ottenuta: Brezze e mare

Utilizzando l'equazione prognostica dello vortice e assumendo che la regione di spazio che si tratta a cavallo delle coste, lungo il mare, è caratterizzata da baroclinicità è possibile sviluppare un semplice modello di circolazione che quindi fa i fenomeni delle brezze d'mare: diurna e notturna

### Osservazione

La fenomenologia ci dice che nei periodi in cui il soleggiamento è particolarmente intenso si determina un evidente gradiente termico tra la superficie del mare e quella dell'atmosfera s'intensa ne delle circolazioni atmosferiche di mesoscale che hanno periodicità giornaliera che vengono chiamate brezze e che schematicamente sono descrivibili con i seguenti schemi.



Di giorno le brezze (il vento) ha direzione e verso che dal mare va verso la terra, di notte la brezza ha direzione e verso che va dalla terra verso il mare. Le velocità tipiche delle brezze variano da pochi metri al secondo sino a  $10 \text{ m s}^{-1}$  o anche  $20 \text{ m s}^{-1}$ .

Sviluppo di un modello di brezza considerando l'equazione di Bernoulli ed assumendo che:

- a) Stiamo considerando un fenomeno alla mesoscala.
- b) Assumiamo che la linea d'onda sia una retta, quindi il modello sarà bidimensionale su un piano virtuale ortogonale alle linee d'onda.
- c) La conservazione del moto si può esprimere con ottima approssimazione considerando il flusso non divergente.
- d) Assumiamo periodicità diurna nello differenza tra i profili termici sul mare e sull'entotone, considerando quelli sul mare costante in virtù della maggior capacità termica del mare rispetto alle terre.

Dal punto d) possiamo trattare il problema utilizzando la velocità relativa, non quella assoluta, in quanto l'accelerazione di Coriolis può essere considerata trascurabile rispetto al gradiente di pressione. Infatti se calcoliamo il numero di Rossby utilizzando le grandezze tipiche che ci vengono dal fenomenologio

$$|\vec{V}| \approx 10 \text{ m s}^{-1} \quad L \approx 100 \text{ km} \quad \text{ricordando } f \approx 10^4 \text{ s}^{-1}$$

si ha una stima per il limite inferiore al numero di Rossby

$$R_o = \frac{V}{Lf} \geq \frac{10 \text{ m s}^{-1}}{10^5 \text{ m } 10^4 \text{ s}^{-1}} = 1$$

Quindi il moto sarà determinato prevalentemente dal gradiente di pressione, che essendo ortogonale la linea di costa, nello suo complesso orizzontale, darà origine ad un moto sul piano indotto dal punto b) che non subirà modifiche nel corso del tempo visto che l'accelerazione di Coriolis non avrà effetto sul moto.

Consideriamo l'equazione delle sortie: in quanto la fenomenologia ci porta a pensare ad una circolazione chiusa (si ricordi la relazione intima tra circolazione e ventata) e caratterizzata da baroclinicità

$$\frac{d\bar{w}}{dt} = -\bar{w}(\bar{\nabla} \cdot \bar{v}) + (\bar{w} \cdot \bar{\nabla}) \bar{v} - R \bar{\nabla} T \times \frac{\bar{\nabla} P}{P}$$

a                          b                          c

Consideriamo il contributo di ciascun addendo secondo membro allo sviluppo delle sortie nell'unità di tempo

Il termine a) è nullo sempre in virtù dell'osservazione c)

Il termine b) è nullo in virtù della geometria del moto. Infatti ricordiamo che se il moto avviene su un piano verticale, sudichiamolo con  $x, z$  allora la varicella sarà non nulla solo le componenti orizzontali al piano, cioè lo  $y$ . Vediamo:

$$\bar{w} = \begin{vmatrix} \bar{i} & \bar{j} & \bar{k} \\ \frac{\partial}{\partial x} & \frac{\partial}{\partial y} & \frac{\partial}{\partial z} \\ u & v & w \end{vmatrix} = \bar{i} \left( \frac{\partial w}{\partial y} - \frac{\partial v}{\partial z} \right) + \bar{i}(0-0) + \bar{j} \left( \frac{\partial u}{\partial z} - \frac{\partial w}{\partial x} \right) + \bar{j} \left( \frac{\partial w}{\partial z} - \frac{\partial u}{\partial x} \right) + \bar{k} \left( \frac{\partial v}{\partial x} - \frac{\partial u}{\partial y} \right) + \bar{k}(0-0)$$

N.B.  $\boxed{v=0}$  sempre e altunque e  $\boxed{\frac{\partial}{\partial y}}$  sono sempre nulli

Quindi i contributi dell'addendo b) non hanno né tilting né stretching.

i)  $w_x \frac{\partial w}{\partial x} + w_y \frac{\partial w}{\partial y} + w_z \frac{\partial w}{\partial z}$

$(\bar{w} \cdot \bar{\nabla}) \bar{v} = \bar{j}$   $w_x \frac{\partial v}{\partial x} + w_y \frac{\partial v}{\partial y} + w_z \frac{\partial v}{\partial z}$

$\bar{k}$ )  $w_x \frac{\partial w}{\partial x} + w_y \frac{\partial w}{\partial y} + w_z \frac{\partial w}{\partial z}$

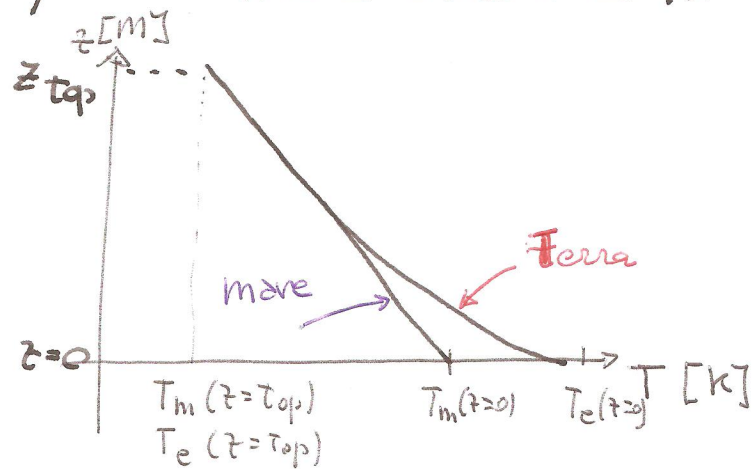
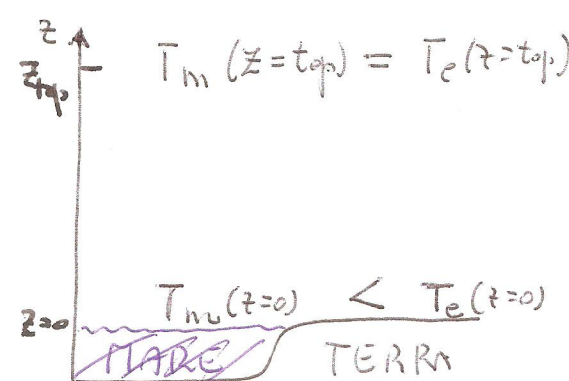
Gli addendi riportati in rosso  $\square$  sono nulli in quanto  $w_x = w_z = 0$  sempre e ovunque. Gli addendi riportati in blu  $\square$  sono nulli perché nessun campo di velocità varia rispetto ad  $y$  (Ricordiamo che stiamo sul piano  $x, z$ )

Pertanto l'equazione per la Nascita si riduce a considerare solo il contributo baroclico  $c$ .

$$\frac{dw}{dt} = - R \bar{\nabla} T \times \frac{\bar{\nabla} P}{P}$$

Osservazione: esso circolazione diurna

Durante il giorno la superficie del mare è più fredda rispetto a quella dell'entroterra, così lo sono anche gli strati pressimi alla superficie, ma tale differenza viene meno aumentando la quota fino a quando ad un'altezza in cui le caratteristiche atmosferiche sono determinate dalla circolazione a scala sottile ( $z = top$ )



Ricordando che l'aumento della pressione con l' altezza, in condizioni idrostatiche, è fusione del profilo termico, si deduce che la pressione al mare è nei bassi strati sull'entroterra è minore rispetto alla pressione sul mare, alle medime quote. In fatti assumendo che a  $z = top$  la pressione sia la stessa sia sul mare che sullo terra,

si ha

$$\frac{g}{R} < \frac{1}{T} > z_{top}$$

$$P(z=0) = P(z=z_{top}) e$$

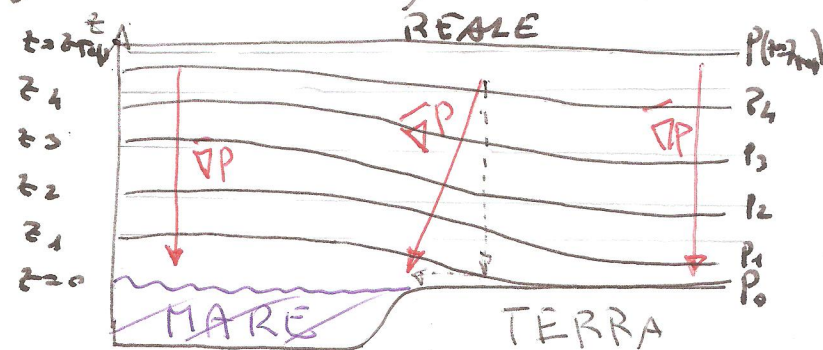
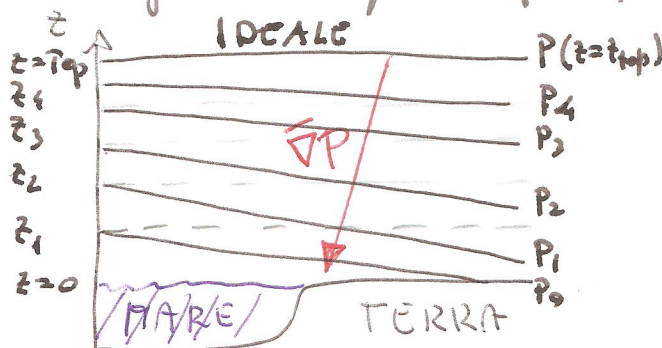
date

$\left\langle \frac{1}{T} \right\rangle$  calcolato sul mare  $>$   $\left\langle \frac{1}{T} \right\rangle$  calcolato sulla terra

Quindi:

$$P(z)_{mare} > P(z)_{terra} \quad \forall z \in [0, z_{top}]$$

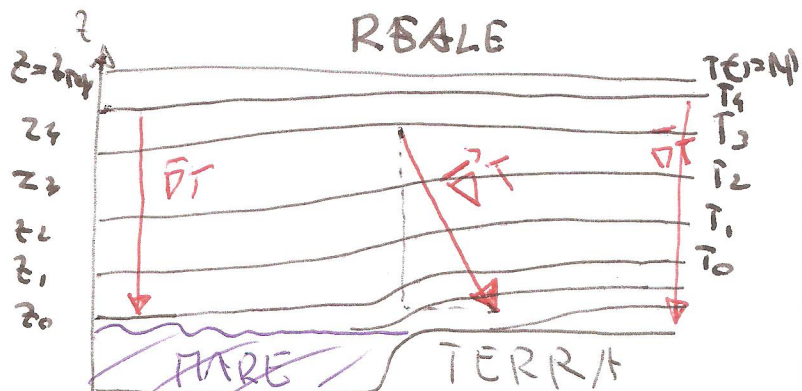
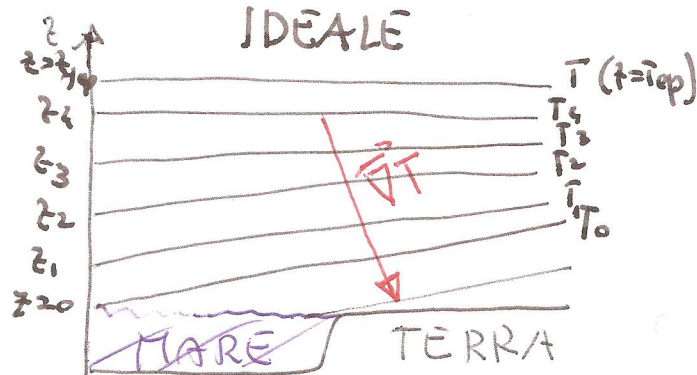
Se immaginiamo le isobare avuti un andamento lineare con le coordinate  $x$  avremo un'immagine come quella di sinistra, mentre realmente si ha l'immagine di destra. Ad ogni modo l'attenzione reale non cambia l'esempio delle instabilità illustrate dallo studio del segnifico, solo che cambierà la quantità fredda (cioè il calore).



Osserviamo che il gradiente barico è incolinato rispetto allo derezione verticale e la sua orientazione molto chiaramente che esiste una componente orizzontale che pura dall'entroterra verso il mare.

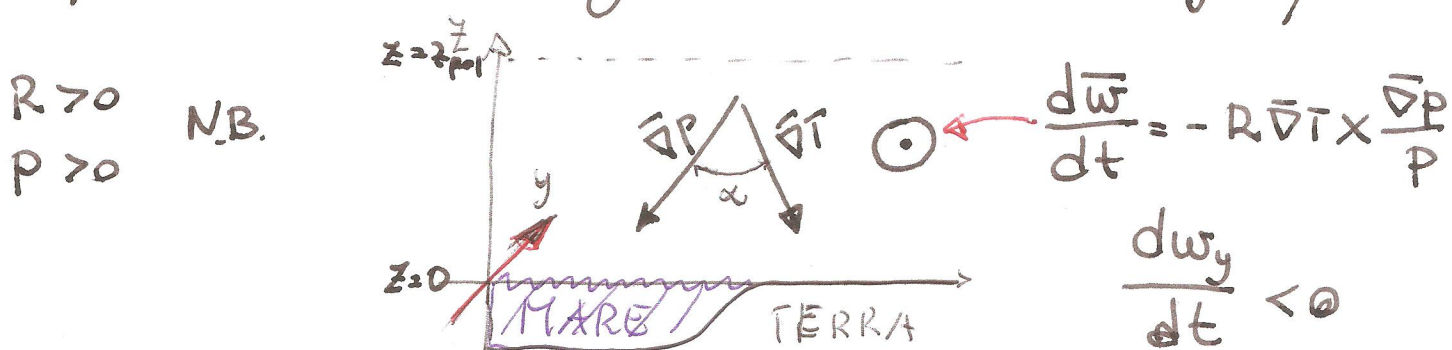
Considerazioni sul gradiente termico

La temperatura alle quote  $Z = Z_{top}$  sia nel mare che sull'entroterra è le stesse, ma a quote inferiori ci sono delle differenze che sono dovute alle diverse capacità termiche, le quali inducono instabilità delle isoterme.



Osserviamo che il gradiente termico è minore rispetto alla direzione verticale e la sua orografia mostra chiaramente che esiste una componente orizzontale che punta dal mare verso l'interno.

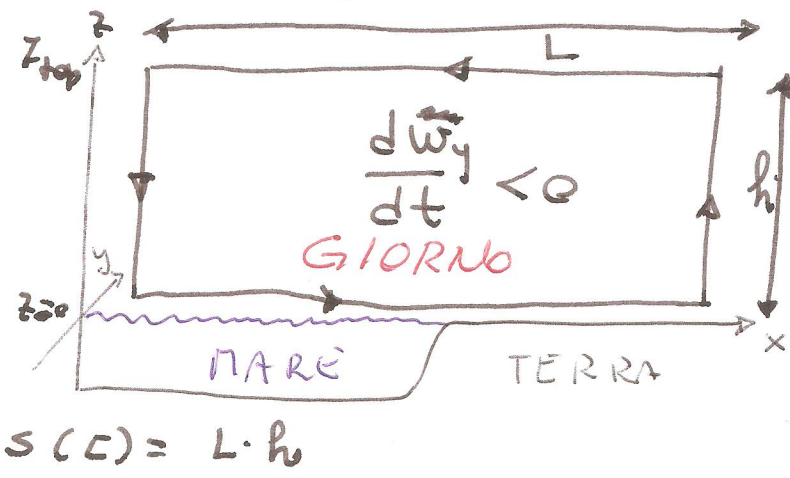
Quindi la variazione nel tempo della vorticità relativa nello situazione dura è negativo (si ricordi che la direzione è verso dell'asse  $y$  sono determinati da  $x, y$ ) quindi



Ricordando la definizione di vorticità, nella sua essenza fisica, cioè il lungo della circolazione su superficie centrale le linee chiuse di circolazione e orientate secondo il verso massimo de modulo si ha, sul piano  $x, y$  del problema che stiamo considerando

$$\frac{d\bar{w}}{dt} = \frac{d}{dt} \left( \lim_{\delta \rightarrow 0} \frac{\mathcal{E}(L)}{S(L)} \right)$$

$$\begin{aligned} \mathcal{E}[L] &= \mu(z=0) \cdot L + \\ &+ w(TERRA) \cdot h + \mu(z=z_{top}) L + \\ &+ w(MARE) \cdot h \end{aligned}$$

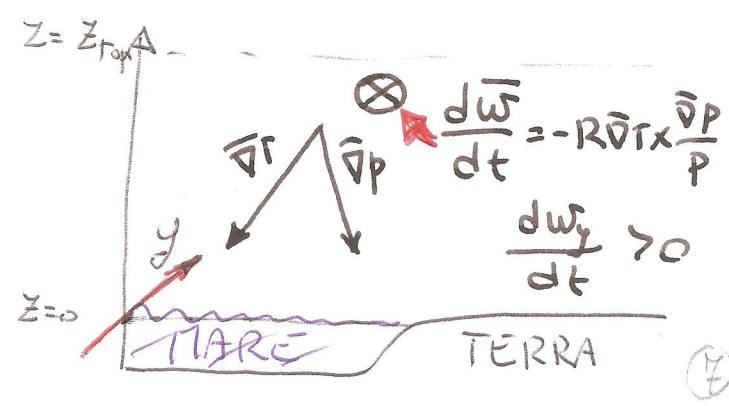
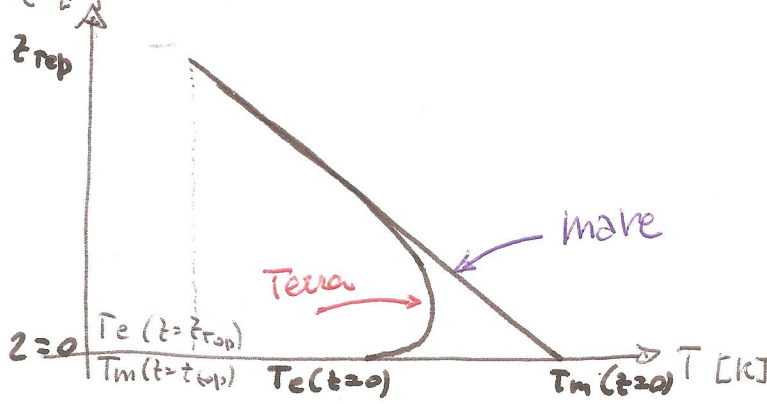
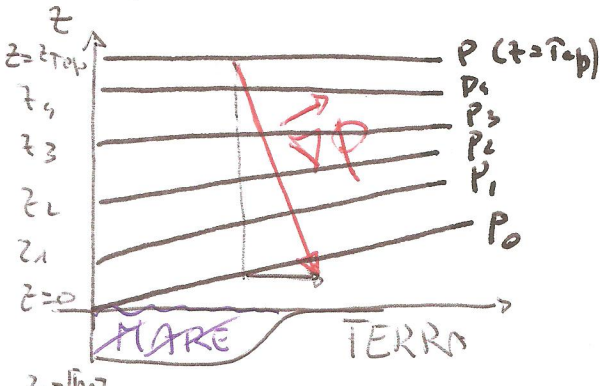


Quindi il modello sviluppato spiega l'inesco del moto che porta alla circolazione diurna delle brezze d'mare ed anche la progressione temporale (evoluzione) del moto.

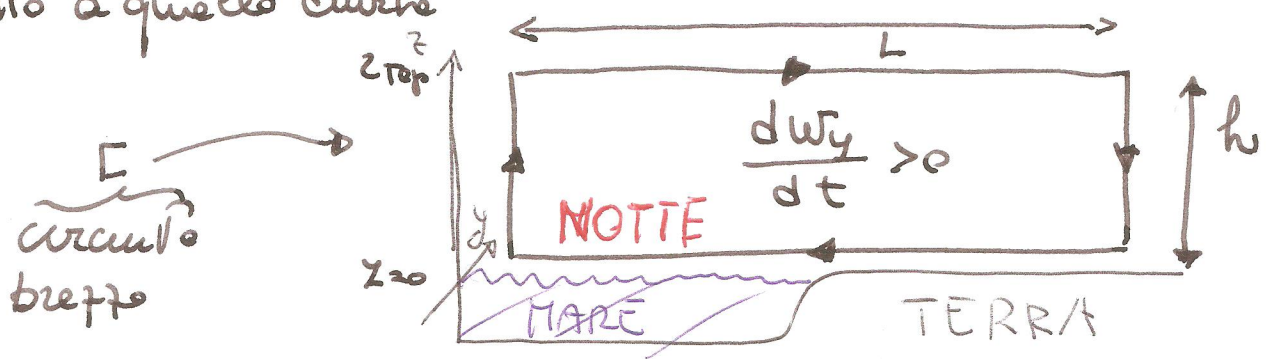
La causa è baroclinità, quindi quando le condizioni di baroclinicità vengono messe, a causa di variazioni nel sleggiamento della superficie mare e terrestre, si si aspetta variazioni nello vertice; quindi nello circolare.

Per quanto riguardo il caso notturno è sufficiente osservare che l'autoterra perde energia con maggiore rapidità rispetto al mare, a causa delle sue elevate temperature diurne, nelle prime fasi, dopo il tramonto (riricarsi è l'ingrandimento di un corpo nero e la legge di Stefan-Boltzmann  $\propto T^4$ ) Successivamente la temperatura superficiale dell'autoterra continua a diminuire in quanto la capacità termica della terra è inferiore rispetto a quella del mare, (sempre più rispetto a quella della superficie marina)

L'arenazione dei gradienti, banchi e ferme, si modifica e le variazioni d'arenazione nel tempo diventano possibili, quindi riduce le circolazioni diurne (fase transiente) e d'origine a quelle notturne, che è opposta a quelle diurne.



Dunque nel corso delle ore notturne la circolazione si invertisce rispetto a quello diurno



### Verificazione quantitative del modello

Verifichiamo se il modello fornisce anche valori verosimili per le velocità del vento e per i tempi d'sviluppo delle brezze.

Se approssimiamo  $W_y$  con il rapporto tra la circolazione del vento di brezza lungo il suo percorso e la superficie centrale nel cerchio:

$$W_y \approx \frac{C[C]}{S[C]} \approx \frac{V \cdot 2[L+h]}{L \cdot h}$$

dove si assume che  
 $U(t=0) = U(t=z_{top}) =$   
 $= W(MARE) = W(TERRA) -$   
 $= V$

$$\frac{dW_y}{dt} = \frac{dV}{dt} \cdot \frac{2[L+h]}{L \cdot h}$$

Inoltre

$$\frac{dW_y}{dt} = -R|\nabla T| \frac{\bar{\Delta}P}{P} \cdot \sin\alpha$$

assumendo che il cerchio non si modifichi nel tempo, cosa non realistica, ma sufficiente adeguata per avere una stima degli ordini di grandezza è  $\frac{dV}{dt}$

date  $\alpha$  è l'angolo formato dai gradi ed è positivo/negativo secondo la definizione del prodotto scalare.

Eguagliando le espressioni si ha:

$$\frac{dV}{dt} \cdot \frac{2[L+h]}{L \cdot h} = -R|\nabla T| \frac{|\bar{\Delta}P|}{P} \sin\alpha$$

Si ottiene una espressione quantitativa per l'accelerazione nel circuito.

$$\frac{d\bar{T}}{dt} = -R |\bar{\nabla}T| \frac{|\bar{\nabla}p|}{P} \sin\alpha \cdot \frac{L \cdot h}{2[L+h]}$$

Ricadono che  $R \approx 288 \text{ J kg}^{-1} \text{ K}^{-1}$

Per quanto riguarda  $|\bar{\nabla}p|$  e  $P$  si consideri che la fono-metologìa ci suggerisce valori per  $Z_{top} \approx 2000 \text{ m}$  quindi  $\approx 800 \text{ hPa}$ , assumendo a  $Z=0$  valori di pressione pari a  $\approx 1000 \text{ hPa}$  si ottiene:

$$\frac{|\bar{\nabla}p|}{P} \approx \frac{(1000-800) \text{ hPa}}{\frac{1}{2}(1000+800) \text{ hPa}} \cdot \frac{1}{2000 \text{ m}} = \frac{1}{900 \text{ m}} \approx \underline{10^{-4} \text{ m}^{-1}}$$

Ovviamente il  $\bar{\nabla}p$  è inclinato rispetto allo verticale a causa della presenza delle componenti orizzontali che può essere valutata considerando 1 o 2 hPa di differenza tra le superficie pressione superfciale del mare e quella dell'ambiente.

Possiamo quindi stimare l'inclinazione del gradiente di pressione

$$\alpha_p \approx \frac{|\bar{\nabla}p|_{\text{orizzontale}}}{|\bar{\nabla}p|_{\text{verticale}}} = \frac{2 \text{ hPa}}{2 \cdot 10^4 \text{ m}} \cdot \frac{2 \cdot 10^3 \text{ m}}{200 \text{ hPa}} = \frac{1}{1000} \quad (\sin \alpha_p \approx \alpha_p) \quad \tan \alpha_d \approx \alpha_p$$

Dove  $L$  è stato posto  $\approx 20 \text{ km}$  e  $h \approx 800 \text{ m}$

Per quanto riguarda  $|\bar{\nabla}T|$  si consideri una differenza tra le superficie e le quote d' 2000 m determinata dal gradiente adiabatico secco  $\bar{T}_d = -\frac{g}{C_p} \approx 10^2 \text{ K m}$

Per stimare l'inclinazione del gradiente tempestico assumiamo una differenza tra le temperature del mare e quello delle terre d'  $\approx 10^\circ \text{C}$  (cioè  $20^\circ \text{C}$  sulla terra e  $10^\circ \text{C}$  sul mare)

$$\alpha_T \approx \frac{|\bar{\nabla}T|_{\text{orizzontale}}}{|\bar{\nabla}T|_{\text{verticale}}} = \frac{10 \text{ K}}{2 \cdot 10^4 \text{ m}} \cdot \frac{10^2 \text{ m}}{10^\circ \text{C}} = \frac{1}{80} \quad (\sin \alpha_T \approx \alpha_T) \quad \tan \alpha_d \approx \alpha_T$$

Dessun'emo che l'angolo formato dai due gradienti è dato dalla somma dei due angoli  $\alpha_p$  e  $\alpha_r$  di cui il maggiore è  $\alpha_r$  infatti  $\alpha_r \gg \alpha_p$

$$\alpha = \alpha_r + \alpha_p = \frac{1}{20} + \frac{1}{1000} \approx \frac{1}{20}$$

che è sicuramente un limite superiore

Se sostituiamo i valori sin qui calcolati nell'espressione per l'accelerazione si ha:

$$\boxed{\frac{dv}{dt}} \approx -288 \text{ J kg}^{-1} \text{ K}^{-1} \cdot 10^{-2} \text{ K m}^{-1} \cdot 10^{-4} \text{ m}^{-1} (\pm \frac{1}{20}) \cdot \frac{2 \cdot 10^3 \cdot 2 \cdot 10^4 \text{ m}^2}{20 \cdot 2[2 \cdot 10^4 + 2 \cdot 10^3] \text{ m}}$$

$$\approx \boxed{\pm 1.4 \cdot 10^{-2} \text{ m s}^{-2}}$$

da considerare come stima superiore usando 20 km per L e  $\alpha \approx \frac{1}{20}$

Il segno  $\pm$  sta ad indicare che dipende dal segno di  $\alpha$  cioè durata (-) e batteria (+)

Questo valore di  $\frac{dv}{dt}$  se integrato su un'ora ( $3.6 \cdot 10^3$  s)

produce un incremento di velocità di circa 50 m s<sup>-1</sup> che è ovviamente un eccesso rispetto a quanto osservato in realtà, ma si ricordi che si tratta di uno stima per eccesso inoltre la variazione della qualsiasi d'aria deve tenere conto degli ostacoli del flusso d'aria con la superficie. Dunque si tratta di un riscatto non ottimale ma accettabile in quanto potenzialmente migliorabile aggiungendo affunghi nel modello.